



2020 11

1

201 .1.1

2

201 11

	----			----	
					1 202
	----				1 000
					1 202
					231
m²	1 0		m²	1 0	
	0		12		24%
	2021 3			2021 3	

1

200 12 12

1440300 3 133 200 31

200 04101

1

2

0.00 /

4

1

201 . .1

1 201 .4.2

201 1 201 10

--2

--

2020 13

1

2

2

1-1

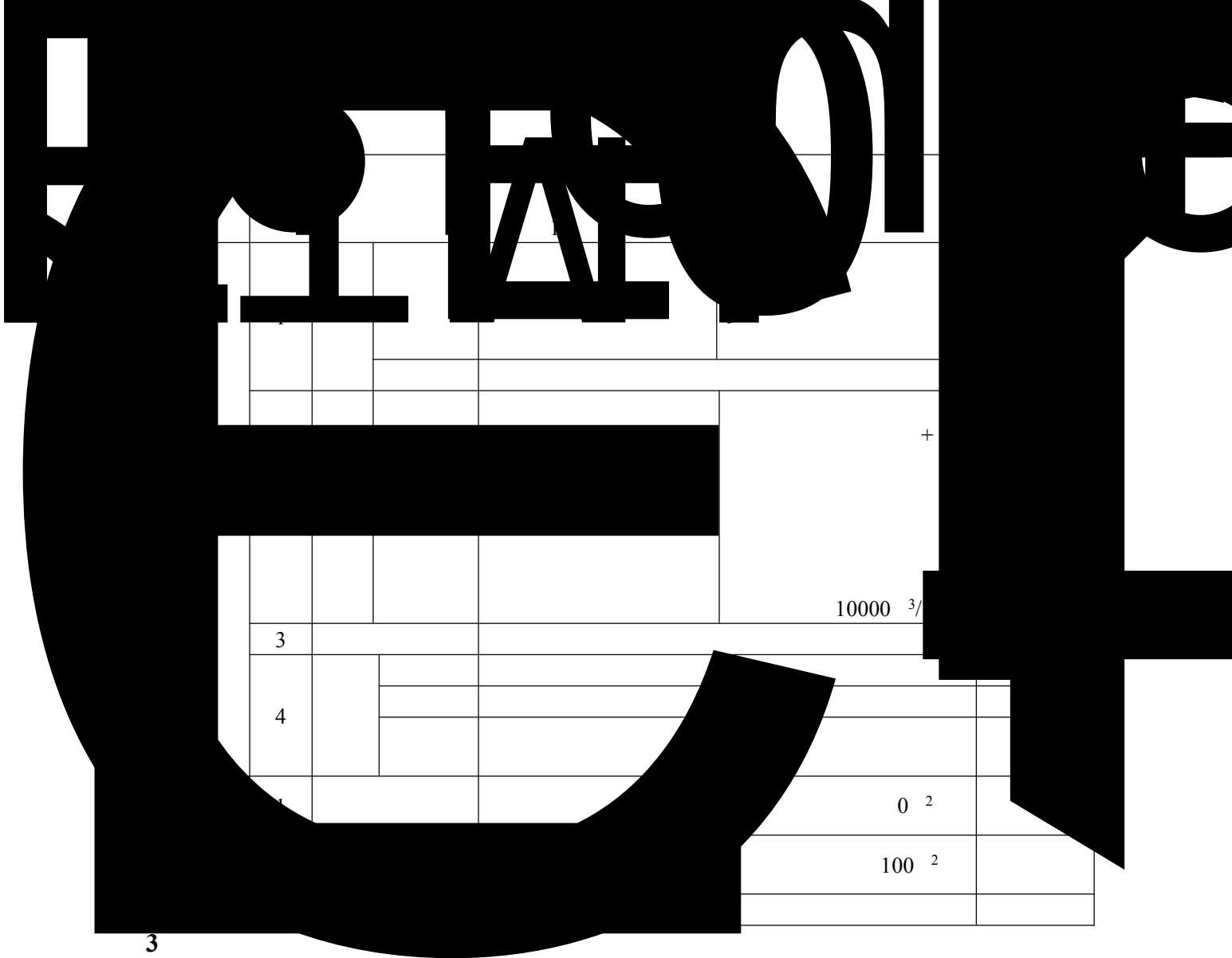
1-2

1-1

1		2	2	0	2400	—

1-2

	1		1000 ²	1 00 ²	
	1				
	1		12 ^{3/} 2.01 ^{3/}	12 ^{3/} 2.01 ^{3/}	
	2				



3

1-3

1-4

1-3

0	0	0	/	0.
300	300	0	2. /	0.1
10	10	0	/	10
0.1	0.1	0	10 /	0.01
100	100	0	10 /	0.1
1	1	0	100 /	0.

1-4

		1 0 ³	1 0 ³	0		
		3. 3	3. 3	0		
		10	10	0		

						/	
			1	1			
			2	2			
			2	2			
			1	1			
			0	1			
			1	1			
			2	2			
			0	1			
1	+		0	1	+1		

5

1 202 3

12 3 1

1 0²

2

6

1

300

7

1 202

1

1-6

	X	Y	N	E
1	2 34.2 4	3 10.03	22 24 2	113 4 304
2	2 23.003	3 21.3 3	22 24 2	113 4 41
3	2 0 . 24	3 0 . 20	22 244 4	113 4 2 4
4	2 20.3 4	3 .41	22 24	113 4 1 4
	2 22.	3 0 .3	22 24 22	113 4 2 0

1 202

21

40

2 .

4

1

2

	d	
	d	
	d	
	d	
	ENE	
	NE	

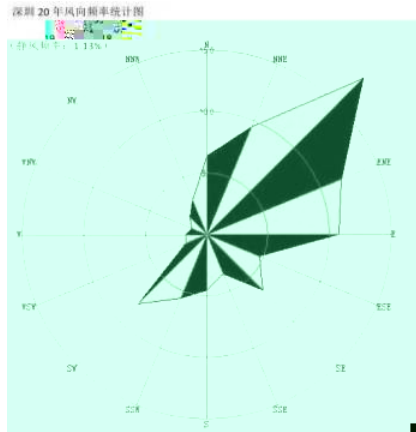
1999-2018

	1	2	3	4						10	11	12
	1 . 3	1 . 2	1 . 4	23.11	2 . 43	2 . 2	2 . 02	2 . 3	2 . 02	2 .	21.	1 . 23

m/s 1999-2018

% 1999-2018

	NNE	NE	ENE	E	ESE	SE	SSE	S	SSW
	SW	WSW	W	WNW	NW	NNW	N	C	



2-1

3.7% 1997-2016

		2		200	4		30	200	2	30	3

												2020 1
			4									
	2			40				40				4
		40				3				4		

200

30 -2012

201

201

3-1

				%			%
2	/ 3		0	.33		1 0	
2	/ 3	2	40	2.		0	2.
10	/ 3	42	0	0	3	1 0	.33
2.	/ 3	24	3	.	4		2.
	/ 3	0.	/	/	0. 24	4	22.
3	/ 3	4	/	/	1 0	1 0	.

2 2 10 2. 3 100%

30 -2012

201

2.2-201

201

201

3-2 201

/ , /

	pH		COD _{cr}	BOD ₅	NH ₃ -N	TP		

	.2	4.1	13.	2.	1.24	0.33	0.24	0.20
	0.14	0.2	0.34	0.2	0.2	0.2	0.24	0.
	.33	.	22.	4.4	5.17	0.60	0.01	0.1
	0.1	0.3	0.	0.44	2.585	1.5	0.01	0.3
	.31	4.	1.0	3.	3.21	0.47	0.12	0.1
	0.1	0.32	0.4	0.3	1.61	1.175	0.12	0.3
		1	40	10	2.0	0.4	1.0	0.3

3

3 3 -2002

3-

3 3 -2002

2020 20 10 00-11 00

3-3

2.4-200

3-3

3-3

		L _{Aeq}	
1	1#	.	30 -200 2 0 ()
1	2#	.	30 -200 4 0 ()

30 -200

2

					m	/	
							30 -200 2
							30 -2012 201
							30 -2012 201 30 -200 2

2.3-201

2.2-201

00

30 -200 2

3 ()

-

2.4-200

200

200

201 12 3

	1	
	3 3 -2002	
	2	
		30 -2012
	201	-
	2.2-201	
	3	
		2020
1		

4-1

1

■ 1

44/2 -2001

2

+

44/ 1 -2010 2

3

3

(1234 -200)

4

(1234 -200) 2

4

1 -2001

2013

4-2

()
00
300

1

44/2 2001

3-

3	1234 -200			
		2	0 ()	0 ()
		4	0 ()	()
1		200		0%

201
201 1

3-

2

2

/

+

2.2

/

2

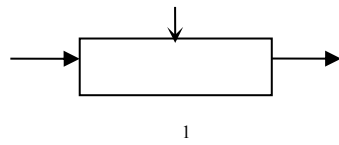
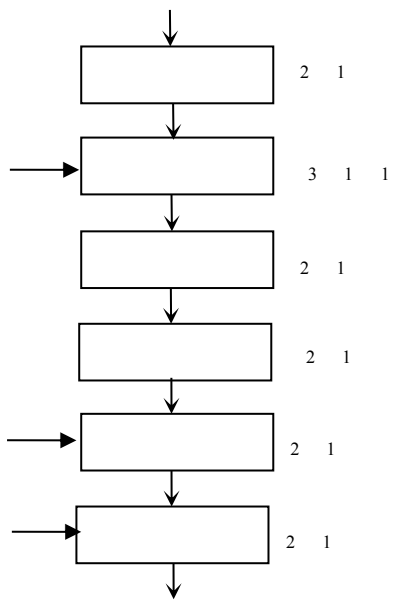
4. /

,

4-3

4-3

/			
	1%		/
			/
			/
	2		200
			/
	1		/
		/	/



1

1

1

1

2

3

2 1 0.

2.2 /

3 12

00-2 3-12 4

00-041-4 0.02 / 0.2 /

4 00-041-4 0.02 /

0

00-214-0 4 00-041-4

0.01 / 0.00 /

5-1

1		1 2 /		0.0 /		
				0.02 /		
				0.02 /		
				0.001 /		
			3-	0.00 /		
2				1. 0		
2				/		
3			0 ()			
4				2.2 /		
				1. /		
				0.2 /		

44/2 -2001

+

/

1

1

2

3

1

W
W₁

0.00 / 2.01 / (300

)

0.00 / 1.0 /

10%

2

1³

W₂

1

300

44/ 14 -2014

0.04^{3/}

0.^{3/}

1 0^{3/}

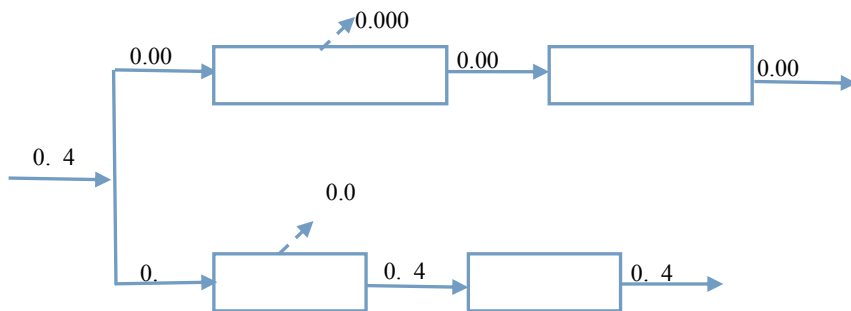
0

0.4^{3/} 1 2^{3/}

3-

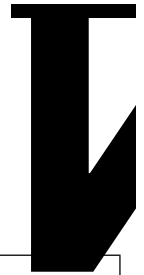
400 / 200 /

40 / / 220 /



t/d

2 G



6-1

		kg/a					kg/a
1		300		1 2%	2%		
2		00			1%		
							12

12 / 0.00 /

0% 10000 ^{3/}

+

0%

%

+

0%

1

1

1.2 /

0.000 /

		2	0				20	1
		2	0		14	30		3
		1	0		1	30		3
		2	0		1	30		3
		1	0	0	20	30		3
		1	0	0	10	3	10	10
		1			10	30	20	10
		1			13	20	2	10

200

4 S

1

0. / . / 2.2 /

1. /

12

00-2 3-12

4

00-041-4

13

00-014-13

0.02 / 0.2 / 0.04 /

4

00-041-4

0.02 /

0

00-214-0

4

00-041-4

0.01 / 0.00 /

4

00-041-4

0.24 / -0.30 /

0.2 /

34. /

1. /

0.0 /

1.202 /

--	--	--	--	--	--	--	--	--	--	--

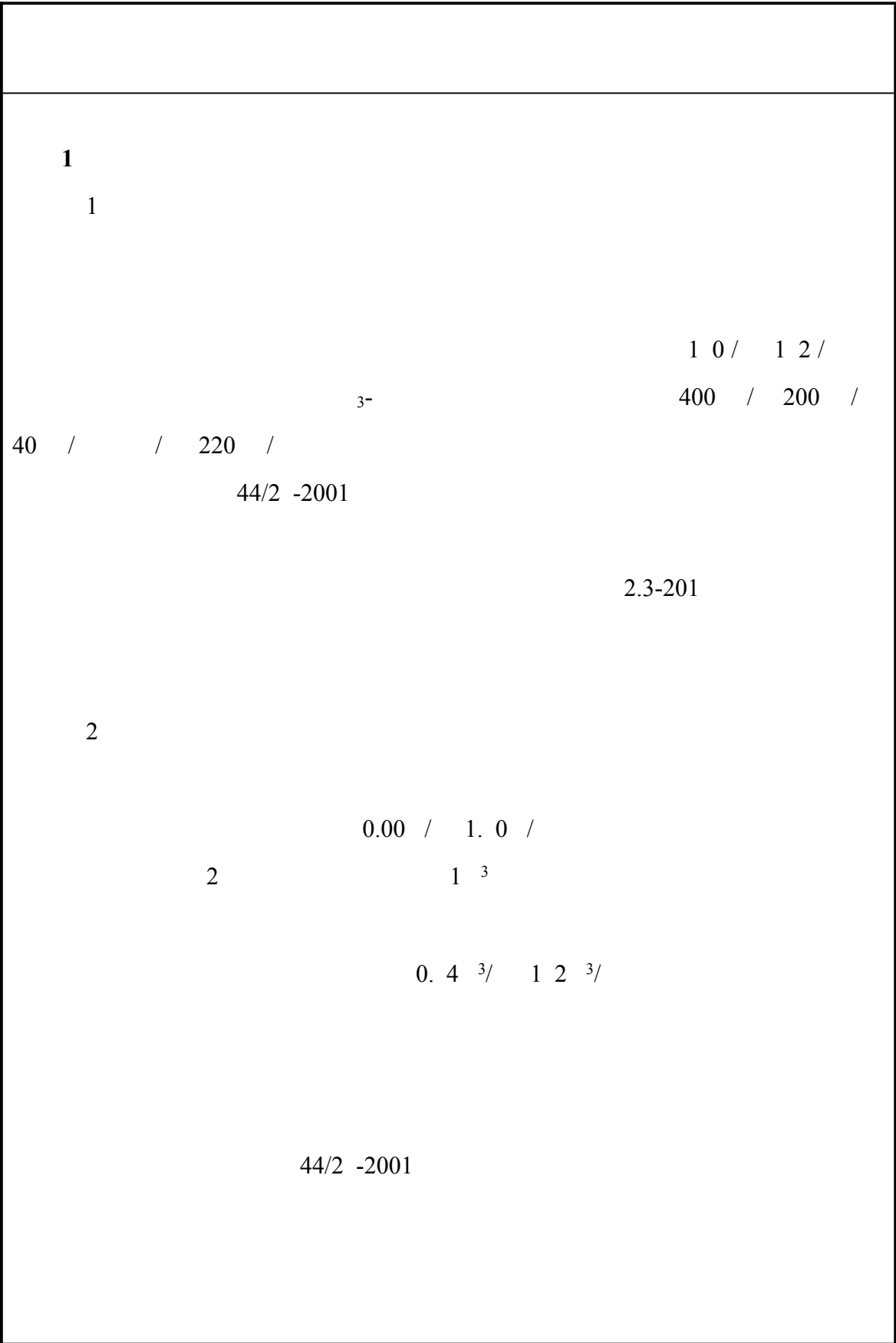
		12	00-2 3-12						
		4	00-041-4						
		4	00-041-4						
		13	00-014-13						
		0	00-214-0						
		4	00-041-4						
		4	00-041-4						

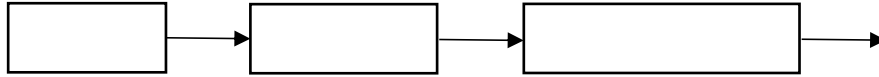
5

6-5

			/	2.2 /	/	2.2 /	3.2 /
			1 2 /	1 2 /	0	1 2 /	0
			0.0 /	0.0 /	0	0.0 /	0
			0.02 /	0.02 /	0	0.02 /	0
			0.02 /	0.02 /	0	0.02 /	0
			0.001 /	0.001 /	0	0.001 /	0
		3-	0.00 /	0.00 /	0	0.00 /	0
			0	0	0	0	0
				0	0	0	0
			0	0	0	0	0
			0	0	0	0	0
			0	0	0	0	0

0





8-1

3

24 ^{3/}

12.4

200 10

200 12

1 1 -2002

201

3 ^{3/} 201

3 3 -2002

0.4 ^{3/} 1 2 ^{3/}

0.0001 %

44/2 -2001

3 3 -2002

8-1

									<input checked="" type="checkbox"/>
	3-			/		/		01	

8-2

									/
01	0.01 2			0 00 24 00			3-		30 10 1.

8-3

				(/)	/
1	01			44/2 -2001	00
					300
					/
		3-			400
					/

8-4

				(/)	/
01	1#			340	0.0
				1 2	0.02
				1 4	0.02
		3-		40	0.00
				.0	0.001

1

2

-

10-201

2

-

-

-

-

8-6

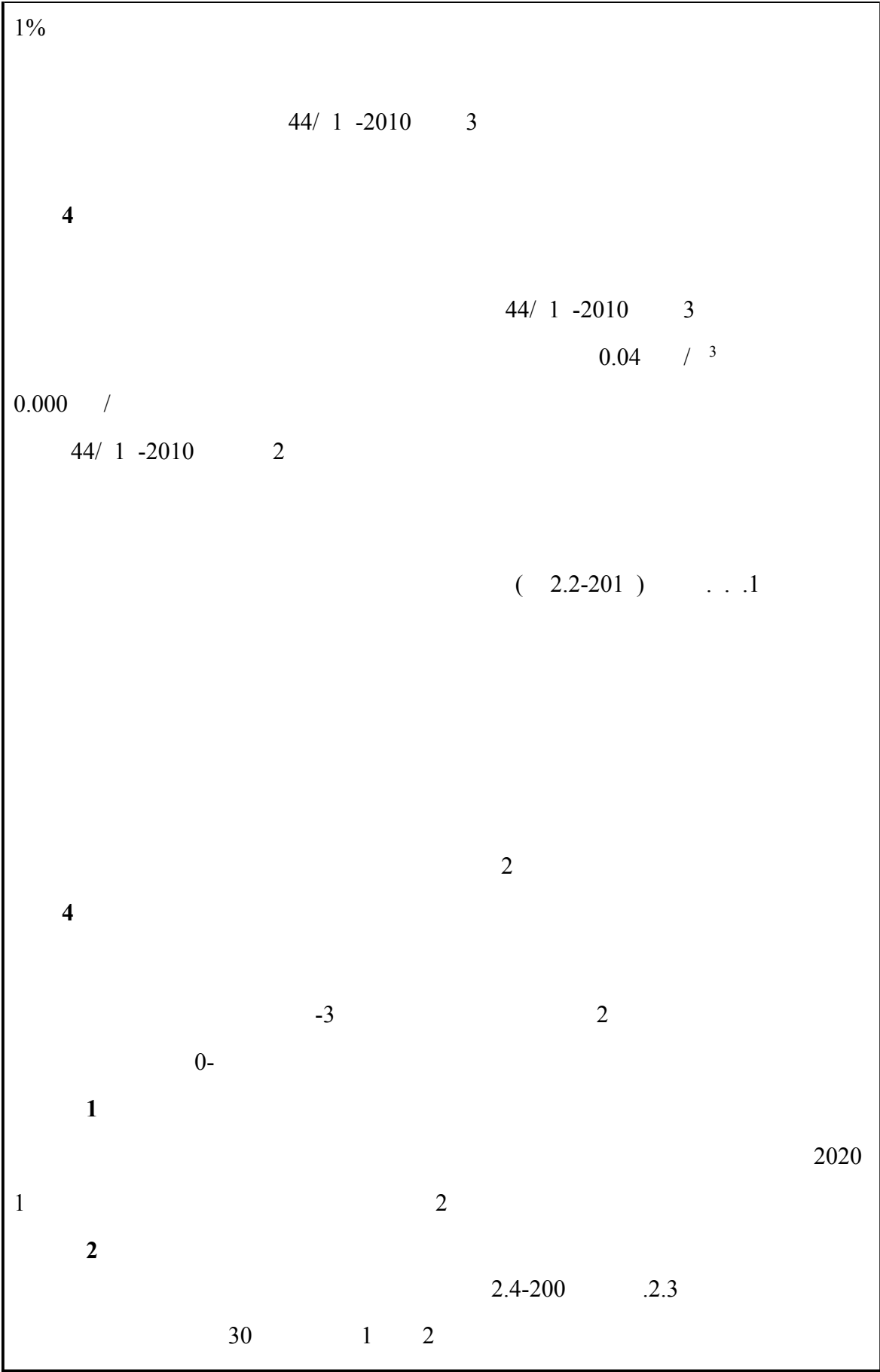
(3/

(/)

/

1

2 2 .42



3 () ()

2.4-200

-10

8-10

	2	
	3 () ()	

3

2.4-200

200

4

1

2

3

30

1

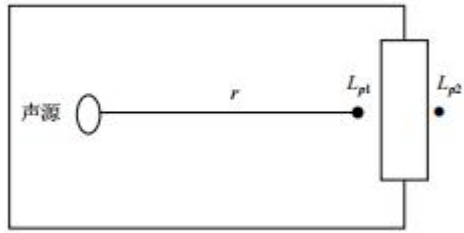
1 2

$$2 = 1 - (+)$$

1 ()

2 ()

()



8-2

1

$$L_{p1} = L_{p2} + 10 \left(\frac{4}{4\pi r^2} + \frac{4}{r} \right)$$

1

2

4

$L_{p1} - L_{p2}$

2

$$L_{p1}(T) = 10 \lg \left(\sum_{j=1}^N 10^{0.1 L_{p1j}} \right)$$

1 ()

()

1

()

$$L_{p2i}(T) = L_{p1i}(T) - (TL_i + 6)$$

2 ()

$$L_w = L_{p2}(T) + 10 \lg s$$

2

$$l_p = l_0 - 20 \lg(r/r_0) - \Delta l$$

0

0

Δ

10 ()

3

$$L_{eq} = 10 \log \sum 10^{0.1l_i}$$

()

()

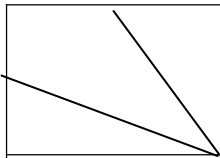
8-11

			1	30	1	3
			10	30	1	3
					20	1
			14	30		3
			1	30		3
			1	30		3
			20	30		3
			10	3	10	10
			10	30	20	10
			13	20	2	10
			1			
			10			

()		31.4	2 .4	31.4	4 .4
		3	2 .4	34.4	4 .4
		3 .	44.0	31.	32.
		3 .0	2 .4	3 .	4 .4
		2 .	2 .4	41.0	4 .4
		34.4	2 .4	44.0	4 .4
		31.	2 .4	44.0	4 .4
		3	24.1	3	3
			4 .4	4 .	
		2.	4 .	4 .3	
1		.2	1.	3.0	.
		0	0	0	0

15

8-13

6

1

2.2 /

1. /

12

00-2 3-12

4

00-041-4

13

00-014-13

0.02 / 0.2 / 0.04 /

4

00-041-4

0.02 /

0

00-214-0

4

00-041-4

0.01 / 0.00 /

4

00-041-4

0.0 /

1.202 /

1 -2001 2013

1 -2001 2013

7

1

0.00 / 1.0 /

0.00 / 1.0 /

2

1 3

0. 3

44/2 -2001

2

0%

10000 3/

+

0%

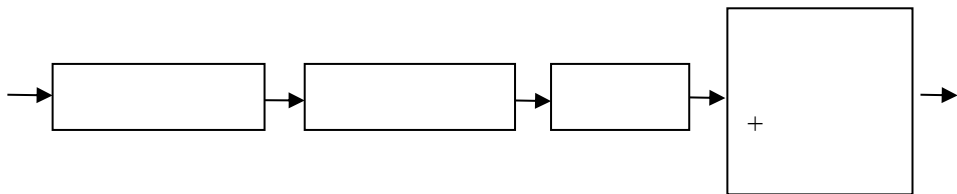
0%

1

1

+

0%



2

2

0- %

10 40 10-

00 1 00 2/

4 % 0%

+

0%

0%

44/ 1 -2010

2

3

3

1234 -200

2

4

2

3

-
200 42 200 4 2

1

1 -2001

1 -2001

()

2



9-2

1

1 -201

1 -201

(1 21 -201)

2

10-1

				/
1		100	0.1	0.001
2		100	0.1	0.001
3		2 00	0.1	0.00004
4		100	1.202	0.01202
				0.012

1.0

1 -201

1

2

3

4

201

-2001

1 -2001 2013

4

1

1

2 3

2

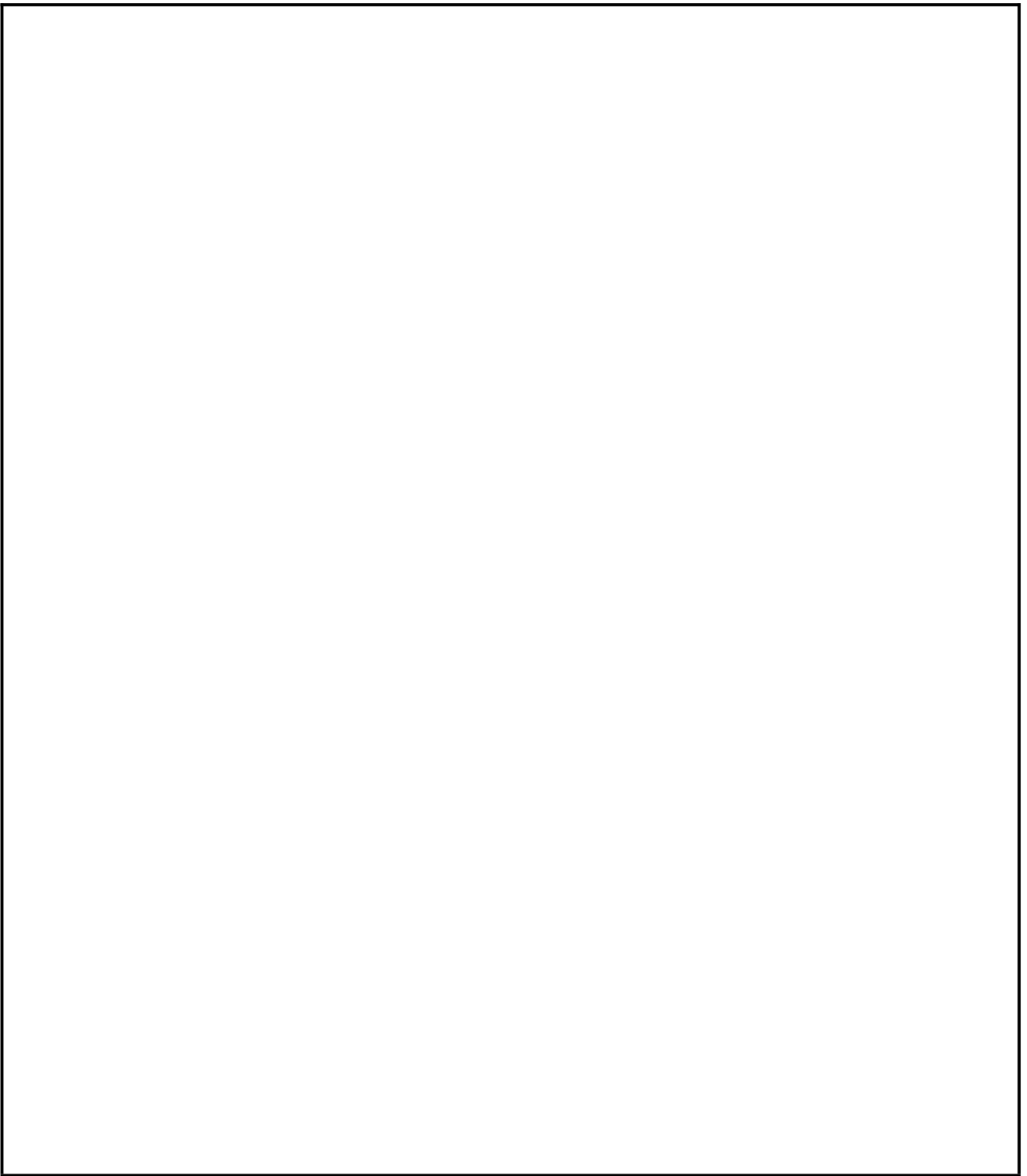
10-2

	1 202			
	113	4 2 0		22 24 22
	1			2 ³
	1	202 1	2	1 0 ²

3

/	()			
---	-----	--	--	--

4 4 4 2



12-1

/ ³	/	/ ³	/ ³	/	
0.4	10.	0	0.04	1.0	1
0.0	1.2	2.0	0.0	1.2	

/	/	/	/	/	
/	1 2	/	/	1 2	
400	0.0	00	340	0.0	
200	0.032	300	1 2	0.02	
220	0.03	400			

12-2 “ ”

/ /

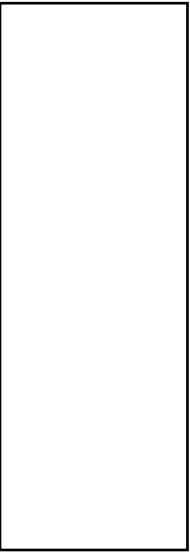
+ +
+
+1

44/ 1 -2010
2

3

2

1



/

/

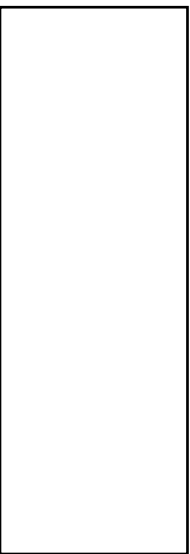
/

/

/

2

44/ 1 -2010



201

201

201

201

201 1

1

2

201 33

201 424

201

2

3

103-0

4

2020 1

2

4

(1234 -200) 2

4

1
[2018]6

VOCs

2018-2020

201 -2020

201

1.

/

/

2020

/ /

30%

+

201 -2020

201

2

2018—2020

2018 128

201 2020

201 12

2

2

10

3-10

0.020 / 3 /

201 2020

201 12

3

[2019] 2

<

>

[2019] 2

[2019] 163

201 2

12

201 2

201 1 3

100 /

1

2.2 / 100 / 2

4. /

4

2017-2020

[2017]1

(201 -2020) 201 1

1

201

201

1 .

201

0%

+

201 -2020

201 1

5

2020

2020

+

2020

6

2019

3

1

201 3 1

+

201 3 1

7

1 /

10%

10

11

0.00 / 1.0 /

2

1³

9

2017 2

201 2 1

1440300 3 133 200 31 200 12 12
 200 04101
 1 2
 0.00 /
 4
 1
 1
 2 2 10 2 3 100%
 30 -2012 201
 2.2-201
 2
 201 3 201
 3 3 -200
 2 3-
 3 3 -2002
 3
 (30 -200) 2
 0 () 0 ()

(30 -200) 4

0 ()

()

1

(44/2 -2001)

2

3

(1234 -200) 2

4

4

1 -2001

2013

1 -2001

2013

1 -201

1 -201

(1 21 -201)

2

1.0

1.0

1 -201

1

2

2.2 /

2

4. /

(201 -2020)

201 1

201 -2020

201

201 2020

201 12

201 3 1

201 1 3

201 2

--29

--
